

Светлой памяти Юрия Дмитриевича Шмыглевского посвящается

## РАСЧЕТ ОСАЖДЕНИЯ СТРУИ КАПЕЛЬНОЙ ВЛАГИ МОМЕНТНЫМ МЕТОДОМ

© 2021 г. В. Н. Котеров<sup>1,\*</sup>, Р. И. Романенко<sup>2,\*\*</sup>

<sup>1</sup> 119333 Москва, Вавилова, 44, корп. 2, ФИЦ ИУ РАН, Россия

<sup>2</sup> 141701 Долгопрудный, М.о., Институтский пер., 9, МФТИ(ГУ), Россия

\*e-mail: vkotеров@yandex.ru

\*\*e-mail: romanenko.ri@phystech.edu

Поступила в редакцию 03.02.2021 г.  
Переработанный вариант 07.03.2021 г.  
Принята к публикации 09.06.2021 г.

На примере задачи расчета осаждения шлейфа мелкодисперсной капельной влаги, образованного компактным источником в потоке воздуха, проводится верификация моментного метода приближенного решения уравнения переноса и диффузии полидисперсной среды. Формулируется способ замыкания бесконечной цепочки моментных уравнений. Результаты расчетов уравнения переноса и диффузии сравниваются с расчетами, выполненными по двухмоментному и трехмоментному приближениям. Библ. 15. Фиг. 8. Табл. 1.

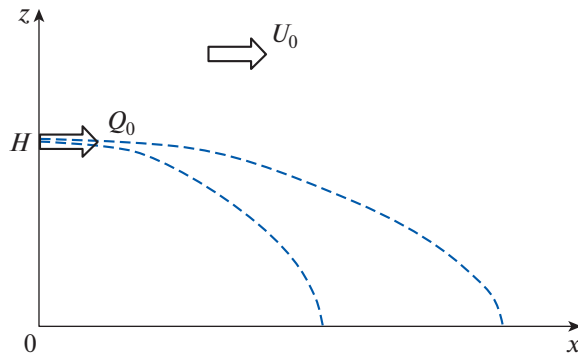
**Ключевые слова:** полидисперсная среда, уравнение переноса и диффузии, капельная влага, метод моментов.

DOI: 10.31857/S0044466921100082

### 1. ВВЕДЕНИЕ

Задачи расчета переноса воздушным потоком капельной влаги уже давно рассматриваются, например, при математическом моделировании зарождения и формирования осадков в облачных структурах. Подобные задачи возникают также при попытках описания распространения аэрозолей, распыляемых наземным или воздушным источниками. Еще одно интересное явление, к которому имеет отношение настоящая работа, – это возникновение и интенсивный перенос капельной влаги в нижних бьефах крупных гидроэлектростанций при работе их водосбросных сооружений. Математическая модель (см. [1]–[6]), описывающая данное явление, включает, в частности, блок расчета распространения капельной влаги в потоке воздуха. Перенос капельной влаги достаточно аккуратно описывается уравнением переноса и диффузии, которому удовлетворяет функция распределения капель по их размерам. При этом, однако, необходимо рассматривать четырехмерное пространство (три пространственные координаты, плюс перемнная, определяющая радиусы капель), что на практике требует длительных расчетов с использованием высокопроизводительных вычислительных комплексов. Для сокращения расчетного времени в модели (см. [1]–[6]) была использована приближенная методика, основанная на применении метода моментов, в двухмоментном и трехмоментном приближении.

Настоящая работа посвящена верификации моментного метода расчета уравнения переноса и диффузии капельной влаги путем сравнения результатов расчетов моментных уравнений с “точным” расчетом уравнения переноса и диффузии. При этом рассматривается одна из простейших задач в двумерной пространственной постановке, а именно, расчет осаждения двумерного (плоского) шлейфа мелкодисперсной капельной влаги, образованного компактным источником в потоке воздуха.



Фиг. 1. Схема плоского капельного шлейфа, образованного неподвижным источником влаги в потоке воздуха.

2. ПОСТАНОВКА ЗАДАЧИ

Рассмотрим плоский шлейф осаждающейся капельной влаги, образованный компактным неподвижным источником, находящимся на высоте  $H$  над подстилающей поверхностью в однородном потоке воздуха, имеющем скорость  $U_0$  (фиг. 1).

Будем полагать, что количество жидкой фазы, содержащейся в единице объема среды невелико, а влияние процессов испарения/конденсации, сопровождающихся поглощением/выделением скрытой теплоты испарения, пренебрежимо мало. В этом случае можно считать, что функция распределения  $f(a)$  капель по размерам (радиусам  $a$ ) удовлетворяет следующему уравнению переноса и диффузии:

$$\frac{\partial f}{\partial t} + \frac{\partial U_0 f}{\partial x} + \frac{\partial w_s f}{\partial z} + \frac{\partial \dot{a} f}{\partial a} = \frac{\partial}{\partial x} A_x \frac{\partial f}{\partial x} + \frac{\partial}{\partial z} A_z \frac{\partial f}{\partial z}, \quad q = \int_0^\infty f(a) da. \tag{1}$$

Здесь и далее  $q$  – масса воды в единице объема (так называемая водность среды),  $w_s$  – скорость осаднения капель в гравитационном поле,  $\dot{a}$  – скорость изменения радиуса капель,  $A_x$  и  $A_z$  – коэффициенты горизонтальной и вертикальной турбулентной диффузии, принимаемые далее постоянными.

Задача рассматривается в области  $x \geq 0, z \geq 0, a \geq 0$ . Наличие источника капельной влаги, образуящего водно-воздушный шлейф, учитывается следующим краевым условием:

$$f = f_0 b(a/a_m) \delta(z/H - 1) \quad \text{при} \quad x = 0, \quad \int_0^\infty b(a') da' = 1, \quad \int_0^\infty \delta(z' - 1) dz' = 1. \tag{2}$$

Здесь  $b(a/a_m)$  – нормированное на единицу распределение источника капельной влаги по радиусам капель ( $a_m$  – мода распределения),  $\delta(z/H - 1)$  – нормированная на единицу достаточно узкая финитная функция, описывающая распределение функции  $f$  в начальном сечении шлейфа ( $H$  – высота источника над подстилающей поверхностью),  $f_0$  – нормировочный множитель.

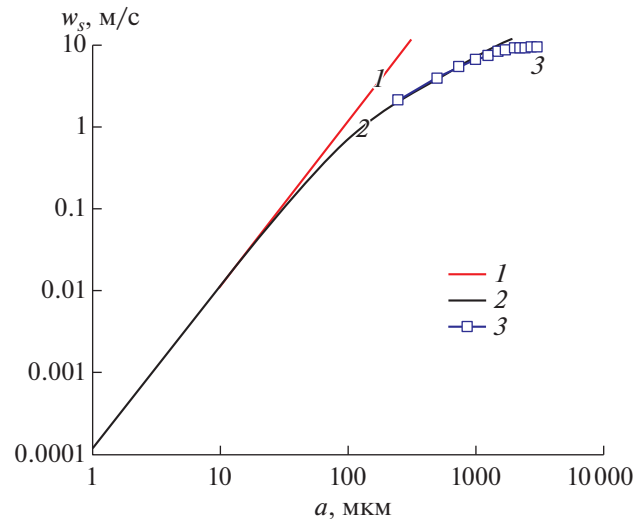
Так как погонный расход жидкости источника капельной влаги  $Q_0$  (фиг. 1) определяется выражением

$$Q_0 = U_0 \int_0^\infty q(0, z) dz, \quad q(0, z) = \int_0^\infty f(a, 0, z) da, \quad \text{то} \quad f_0 = Q_0 / (U_0 a_m H).$$

На подстилающей поверхности ( $z = 0$ ) выставляется условие  $\partial f / \partial z = 0$ , и расчетная величина осадков  $h$ , выпадающих на подстилающую поверхность, вычисляется по формуле

$$h = \frac{1}{\rho_w} \int_0^\infty w_s f(a) da.$$

Здесь и далее  $\rho_w$  – плотность воды.



Фиг. 2. Скорость осаждения капель воды в воздухе: 1 – формула Стокса (3), 2 – формула (4), 3 – данные [9].

На открытом участке границы, через который может происходить диффузия капельной влаги (при  $x \rightarrow \infty$ ), выставляется модельное “мягкое” условие  $\partial^2 f / \partial x^2 = 0$ . Аналогичное условие  $\partial^2 f / \partial z^2 = 0$  выставляется и при  $z \rightarrow \infty$ .

Наконец, при  $a = 0$  можно считать, что “поток капель”  $\dot{a}f(a) = 0$ , а при  $a \rightarrow \infty$  величина  $f \rightarrow 0$ . В рассматриваемой задаче, впрочем, будет считаться, что изменение размеров капель происходит только за счет так называемого процесса гравитационной коагуляции. В этом случае “скорость потока капель в пространстве их радиусов”  $\dot{a} \geq 0$ , и условие  $f \rightarrow 0$  при  $a \rightarrow \infty$  можно не учитывать.

Для окончательной формулировки задачи необходимо указать зависимость скорости осаждения капель  $w_s$  от их радиуса  $a$ , а также выражение для скорости изменения размеров капель  $\dot{a}$ .

### 2.1. Скорость осаждения капель в гравитационном поле

Эта величина для капель (или твердых частиц) достаточно малого радиуса может быть вычислена по формуле Стокса (см., например, [7]):

$$w_s = w_{St}(a) \equiv ka^2, \quad k = \frac{2}{9} \frac{g}{\nu_a} \left( \frac{\rho_w}{\rho_a} - 1 \right), \quad (3)$$

где  $g$  – ускорение свободного падения,  $\nu_a$  – кинематическая вязкость газа,  $\rho_w$  и  $\rho_a$  – плотности жидкости и газа соответственно. Для капель воды в воздухе параметр  $k$  в формуле (3) составляет величину порядка  $10^8$  1/(м·с).

Формула (3) справедлива лишь для капель или твердых частиц достаточно малого размера, когда скорость их осаждения такова, что число Рейнольдса  $Re(a) = 2aw_s(a)/\nu_a < 1$  (см. [7]). При  $Re(a) \geq 1$  используются различные полуэмпирические формулы, основанные на формуле Стокса (3), но с поправками, зависящими от числа Рейнольдса  $Re$ . Например, согласно [8],

$$w_s(a) = \frac{w_{St}(a)}{1 + 0.15 Re(a)^{0.687}}. \quad (4)$$

Отметим также, что очень крупные капли вначале испытывают значительную деформацию, а затем могут начинать дробиться. В результате максимальный радиус капель не превышает 2.5–3 мм, а их скорость осаждения 9–10 м/с (см. [9]).

На фиг. 2 представлена зависимость скорости осаждения  $w_s$  капли воды в воздухе от радиуса капли  $a$ . Видно, что формула Стокса удовлетворительно работает лишь для капель радиуса  $a \leq 50$ –100 мкм, а формула (3) для  $a \leq 1000$ –1500 мкм.

В настоящей работе, в отличие от [1]–[6], будет рассматриваться только мелкодисперсная капельная влага, осаждаемая в режиме Стокса.

2.2. Скорость изменения размеров капель

Изменение размеров капель в процессе их переноса потоком воздуха происходит, в основном, за счет процессов конденсации/испарения и процесса коагуляции, в частности, гравитационной коагуляции – укрупнения капель в процессе их движения за счет “поглощения” более мелких капель. Крупные капли с  $a \geq 10^3$  мкм, скорость движения которых относительно воздуха достаточно высока, могут также дробиться на более мелкие. Известно, что механизм изменения размеров капель за счет конденсации/испарения существенен для капель достаточно малого радиуса ( $a \leq 50$  мкм, см., например, [10]). Для капель с размерами  $50 \text{ мкм} < a < 10^3 \text{ мкм}$ , которые будут рассматриваться далее, основную роль должна играть гравитационная коагуляция. Точное выражение для скорости изменения радиусов капель за счет этого процесса достаточно сложное (см., например, [10], [11]). Однако известны приближенные формулы, применяемые, например, при моделировании переноса капельной влаги в облачных структурах. В частности, в метеорологии известна следующая теоретическая формула для изменения массы  $M$  капли в результате процесса гравитационной коагуляции (см. [12]):

$$dM/dt = \pi a^2 w_s(a) \rho_w q \tilde{E}, \quad \tilde{E} = \text{const},$$

где  $\tilde{E}$  – безразмерная величина, которую можно назвать средней вероятностью/коэффициентом захвата/коагуляции крупной каплей более мелких капель. Так как  $M = (4/3)\pi \rho_w a^3$ , то отсюда немедленно следует:  $\dot{a} = \tilde{K} w_s(a) q$ ,  $\tilde{K} = \tilde{E}/(4\rho_w)$ . Если скорость осаждения капель рассчитывается по формуле Стокса, то

$$\dot{a} = K a^2 q, \quad K = k\tilde{K} = k\tilde{E}/(4\rho_w).$$

По порядку величины (значение  $\tilde{E}$  принято равным 0.4) в рассматриваемых случаях (капли воды в воздухе)  $K \approx 10^4 \text{ м}^2/(\text{кг}\cdot\text{с})$ .

1.3. Формулировка задачи в безразмерной форме

Приведем уравнение (1) и краевое условие (2) к безразмерной форме, для чего представим переменные в следующем виде (штрихи помечают безразмерные переменные):

$$x = H \frac{U_0}{ka_m^2} x', \quad z = Hz', \quad t = T_0 t', \quad a = a_m a',$$

$$f = f_0 f', \quad q = f_0 a_m q', \quad \dot{a} = Ka_m^3 f_0 \dot{a}', \quad h = \frac{1}{\rho_w} ka_m^3 f_0 h',$$

где  $a_m$  – мода распределения источника капельной влаги,  $T_0 = H/(ka_m^2)$  – характерное время процесса,  $\dot{a}'$  и  $h'$  – безразмерная скорость изменения размеров капель и безразмерная скорость выпадения капельной влаги на подстилающую поверхность. Подставляя данные выражения в (1) и (2), получаем (штрихи у безразмерных переменных далее везде опущены):

$$\frac{\partial f}{\partial t} + \frac{\partial f}{\partial x} - a^2 \frac{\partial f}{\partial z} + \varepsilon_{\dot{a}} \frac{\partial \dot{a} f}{\partial a} = \varepsilon_{A_x} \frac{\partial^2 f}{\partial x^2} + \varepsilon_{A_z} \frac{\partial^2 f}{\partial z^2}, \quad \dot{a} = a^2 q, \quad q = \int_0^\infty f(a) da, \tag{5}$$

$$f = b(a)\delta(z-1) \quad \text{при} \quad x = 0, \tag{6}$$

где  $\varepsilon_{\dot{a}}$ ,  $\varepsilon_{A_x}$ ,  $\varepsilon_{A_z}$  – параметры подобия, определяющие влияние гравитационной коагуляции, горизонтальной и вертикальной диффузии, соответственно, на процесс осаждения шлейфа. Они следующим образом связаны с определяющими параметрами задачи:

$$\varepsilon_{\dot{a}} = \frac{KQ_0}{ka_m U_0}, \quad \varepsilon_{A_x} = \frac{A_x w_s(a_m)}{HU_0 U_0}, \quad \varepsilon_{A_z} = \frac{A_z U_0}{HU_0 w_s(a_m)}, \quad w_s(a_m) = ka_m^2.$$

Так как обычно  $w_s(a_m)/U_0 \ll 1$ , то  $\varepsilon_{A_x} \ll \varepsilon_{A_z}$ , т.е. процессом продольной диффузии часто можно пренебрегать по сравнению с вертикальной диффузией.

В расчетах будем принимать, что функция  $\delta$ , задающая пространственное распределение функции  $f$  в начальном сечении  $x = 0$  шлейфа, имеет вид гауссовой функции

$$\delta(z-1) = \frac{1}{\Delta\sqrt{\pi}} \exp\left[-\left(\frac{z-1}{\Delta}\right)^2\right],$$

где  $\Delta$  – характерная безразмерная полуширина шлейфа в его начальном сечении.

Безразмерная скорость выпадения жидкости на подстилающую поверхность вычисляется так:

$$h = \int_0^{\infty} a^2 f(a) da \quad \text{при} \quad z = 0.$$

### 3. МОМЕНТНЫЙ МЕТОД

Введем моменты функции распределения капель по размерам ( $n$  – порядок момента):

$$f_n = \int_0^{\infty} a^n f(a) da, \quad n = 0, 1, \dots$$

Отметим, что нулевой и первый моменты функции распределения связаны с водностью  $q$  и со средним размером капель  $\bar{a}$  следующим образом:

$$f_0 = q, \quad f_1 = q\bar{a}, \quad \bar{a} = \int_0^{\infty} af(a) da / \int_0^{\infty} f(a) da.$$

Второй момент  $f_2$  совместно с двумя первыми определяет дисперсию  $D$  функции распределения и стандартное отклонение  $\sigma$  размеров капель от среднего значения:

$$D = \int_0^{\infty} (a - \bar{a})^2 f(a) da = f_2 - f_1^2 / f_0, \quad \sigma = \sqrt{D}.$$

Помножим уравнение (5) на  $a^n$  и проинтегрируем по всем возможным размерам капель  $a$ . Тогда можно получить следующие моментные уравнения:

$$\frac{\partial f_n}{\partial t} + \frac{\partial f_n}{\partial x} - \frac{\partial f_{n+2}}{\partial z} - n\epsilon_a f_0 f_{n+1} = \epsilon_{A_x} \frac{\partial^2 f_n}{\partial x^2} + \epsilon_{A_z} \frac{\partial^2 f_n}{\partial z^2}, \quad n = 0, 1, \dots \quad (7)$$

Цепочка моментных уравнений (7), обрываемая на каком-нибудь значении  $n = N$ , оказывается не замкнутой, так как в эти уравнения входят моменты  $f_{N+1}$  и  $f_{N+2}$ , порядок которых выше  $N$ . Однако на основе (7) могут быть построены приближенные модели процесса переноса капельной влаги, позволяющие, в частности, рассчитывать распределения водности среды и интенсивность осадков, выпадающих на подстилающую поверхность.

Оборвем цепочку уравнений (7) на некотором значении  $n = N$  ( $N$  будет называться номером приближения), и запишем ее в следующем виде:

$$\begin{aligned} \frac{\partial f_n}{\partial t} + \frac{\partial f_n}{\partial x} - \frac{\partial f_{n+2}}{\partial z} - n\epsilon_a f_0 f_{n+1} &= \epsilon_{A_x} \frac{\partial^2 f_n}{\partial x^2} + \epsilon_{A_z} \frac{\partial^2 f_n}{\partial z^2}, \quad n = 0, 1, \dots, N-2, \\ \frac{\partial f_{N-1}}{\partial t} + \frac{\partial f_{N-1}}{\partial x} - \frac{\partial \eta_{N-1} \bar{a}^2 f_{N-1}}{\partial z} - (N-1)\epsilon_a f_0 f_N &= \epsilon_{A_x} \frac{\partial^2 f_{N-1}}{\partial x^2} + \epsilon_{A_z} \frac{\partial^2 f_{N-1}}{\partial z^2}, \\ \frac{\partial f_N}{\partial t} + \frac{\partial f_N}{\partial x} - \frac{\partial \eta_N \bar{a}^2 f_N}{\partial z} - N\epsilon_a \zeta_N f_1 f_N &= \epsilon_{A_x} \frac{\partial^2 f_N}{\partial x^2} + \epsilon_{A_z} \frac{\partial^2 f_N}{\partial z^2}. \end{aligned} \quad (8)$$

Здесь введены следующие обозначения:

$$\eta_n = \frac{f_{n+2}}{\bar{a}^2 f_n} = \frac{f_{n+2} f_0^2}{f_n f_1^2} = \frac{\int_0^{\infty} a^{n+2} f da \left( \int_0^{\infty} f da \right)^2}{\left( \int_0^{\infty} a^n f da \right) \left( \int_0^{\infty} a f da \right)^2}, \quad \zeta_n = \frac{f_0 f_{n+1}}{f_1 f_n} = \frac{\int_0^{\infty} f da \int_0^{\infty} a^{n+1} f da}{\int_0^{\infty} a f da \int_0^{\infty} a^n f da}. \quad (9)$$

Заметим, что, согласно (9),  $\zeta_1 = \eta_0$ . Отметим также, что если в дробно-рациональных функционалах (9) полагать  $f = f_0 \delta(a - a_0)$  (где  $\delta$  – дельта-функция Дирака, а  $a_0 = \text{const}$ ), то все  $\eta_n = 1$  и  $\zeta_n = 1$ .

Систему уравнений (8) можно замкнуть, указав приближенную зависимость функционалов  $\eta_{N-1}$ ,  $\eta_N$  и  $\zeta_N$  от моментов  $f_0, \dots, f_N$ . Для решения этой задачи постулируем какую-нибудь физически оправданную аналитическую зависимость функции распределения  $f(a)$  от радиуса капель  $a$  и от  $(N + 1)$ -го дополнительного параметра. Сама эта функциональная зависимость должна оставаться неизменной в рассматриваемом процессе, но параметры в ней, конечно, могут меняться с течением времени.

Удобно постулировать следующую параметрическую зависимость:

$$f = \frac{f_0}{a_m} F(\xi; g_0, \dots, g_{N-2}), \quad \xi = \frac{a}{a_m}, \quad \int_0^\infty F(\xi; g_0, \dots, g_{N-2}) d\xi = 1, \quad (10)$$

где  $f_0 = q$  – водность среды, а  $F$  – так называемая функция распределения, “нормированная на единицу”. В качестве нормировочной величины  $a_m$  удобно выбрать моду функции распределения. Величины  $f_0, a_m, g_0, \dots, g_{N-2}$  являются теми дополнительными параметрами, о которых шла речь в предыдущем абзаце.

Вычисляя моменты, из (10) имеем

$$f_n = f_0 a_m^n \alpha_n(g_0, \dots, g_{N-2}), \quad \alpha_n(g_0, \dots, g_{N-2}) = \int_0^\infty \xi^n F(\xi; g_0, \dots, g_{N-2}) d\xi, \quad n = 1, 2, \dots, N. \quad (11)$$

Из (9) и (11), учитывая, что  $\alpha_0 = 1$ , получаем

$$\eta_n = \frac{\alpha_{n+2}(g_0, \dots, g_{N-2})}{\alpha_n(g_0, \dots, g_{N-2}) \alpha_1^2(g_0, \dots, g_{N-2})}, \quad \zeta_n = \frac{\alpha_{n+1}(g_0, \dots, g_{N-2})}{\alpha_1(g_0, \dots, g_{N-2}) \alpha_n(g_0, \dots, g_{N-2})}. \quad (12)$$

Соотношения (11) можно свести к следующей системе  $(N - 1)$ -го уравнения для  $(N - 1)$ -го параметра  $g_0, \dots, g_{N-2}$ :

$$\frac{f_n f_0^{n-1}}{f_1^n} = \frac{\alpha_n(g_0, \dots, g_{N-2})}{\alpha_1^n(g_0, \dots, g_{N-2})}, \quad n = 2, 3, \dots, N. \quad (13)$$

Разрешив эту систему уравнений и воспользовавшись (12), получим окончательно искомые зависимости параметров  $\eta_n$  и  $\zeta_n$  от моментов  $f_n$  в виде

$$\eta_n = \eta_n \left( \frac{f_2 f_0}{f_1^2}, \dots, \frac{f_N f_0^{N-1}}{f_1^N} \right), \quad \zeta_n = \zeta_n \left( \frac{f_2 f_0}{f_1^2}, \dots, \frac{f_N f_0^{N-1}}{f_1^N} \right). \quad (14)$$

Рассмотрим далее два низших приближения: приближение двух моментов ( $N = 1$ ) и приближение трех моментов ( $N = 2$ ).

Система уравнений (8) в приближении двух моментов ( $N = 1$ ) имеет следующий вид:

$$\begin{aligned} \frac{\partial f_0}{\partial t} + \frac{\partial f_0}{\partial x} - \frac{\partial \eta_0 \bar{a}^2 f_0}{\partial z} &= \varepsilon_{A_x} \frac{\partial^2 f_0}{\partial x^2} + \varepsilon_{A_z} \frac{\partial^2 f_0}{\partial z^2}, \\ \frac{\partial f_1}{\partial t} + \frac{\partial f_1}{\partial x} - \frac{\partial \eta_1 \bar{a}^2 f_1}{\partial z} - \varepsilon_a \eta_0 f_1^2 &= \varepsilon_{A_x} \frac{\partial^2 f_1}{\partial x^2} + \varepsilon_{A_z} \frac{\partial^2 f_1}{\partial z^2}, \quad \bar{a} = f_1/f_0. \end{aligned} \quad (15)$$

В приближении трех моментов ( $N = 2$ )

$$\begin{aligned} \frac{\partial f_0}{\partial t} + \frac{\partial f_0}{\partial x} - \frac{\partial f_2}{\partial z} &= \varepsilon_{A_x} \frac{\partial^2 f_0}{\partial x^2} + \varepsilon_{A_z} \frac{\partial^2 f_0}{\partial z^2}, \\ \frac{\partial f_1}{\partial t} + \frac{\partial f_1}{\partial x} - \frac{\partial \eta_1 \bar{a}^2 f_1}{\partial z} - \varepsilon_a f_0 f_2 &= \varepsilon_{A_x} \frac{\partial^2 f_1}{\partial x^2} + \varepsilon_{A_z} \frac{\partial^2 f_1}{\partial z^2}, \\ \frac{\partial f_2}{\partial t} + \frac{\partial f_2}{\partial x} - \frac{\partial \eta_2 \bar{a}^2 f_2}{\partial z} - 2\varepsilon_a \zeta_2 f_1 f_2 &= \varepsilon_{A_x} \frac{\partial^2 f_2}{\partial x^2} + \varepsilon_{A_z} \frac{\partial^2 f_2}{\partial z^2}, \quad \bar{a} = f_1/f_0. \end{aligned} \quad (16)$$

Для замыкания систем (15) и (16) воспользуемся приближенным аналитическим выражением для распределения капель жидкой фазы в двухфазной среде. Известны различные формулы, аппроксимирующие экспериментальные функции распределения. В частности, типовые распре-

**Таблица 1.** Зависимость величин  $\alpha_1, \alpha_2, \eta_0, \eta_1$  от параметров функции распределения (17) капель по радиусам

$(s, p)$	(2, 2)	(2, 3)	(2, 4)	(3, 8)
$\alpha_1(s, p)$	1.12837917	1.08540188	1.06384608	1.03166095
$\alpha_2(s, p)$	1.5	1.33333333	1.25	1.125
$\eta_0(s, p)$	1.17809725	1.13176848	1.10446616	1.05700864
$\eta_1(s, p)$	1.57079633	1.41471060	1.32535940	1.17445404

деления капель в облаках и туманах довольно хорошо аппроксимируются следующей колоколообразной функцией (см., например, [13]):

$$F(\xi; s, p) = \frac{1}{C} \xi^p \exp\left(-\frac{p}{s} \xi^s\right), \quad C = \frac{1}{s} \left(\frac{s}{p}\right)^{(p+1)/s} \Gamma\left(\frac{p+1}{s}\right), \quad (17)$$

где  $p$  и  $s$  – эмпирические параметры, а  $\Gamma(x) = \int_0^\infty \eta^{x-1} e^{-\eta} d\eta$  – полная гамма-функция.

Моменты  $\alpha_n$  от “нормированной на единицу” функции распределения (17) имеют следующий вид:

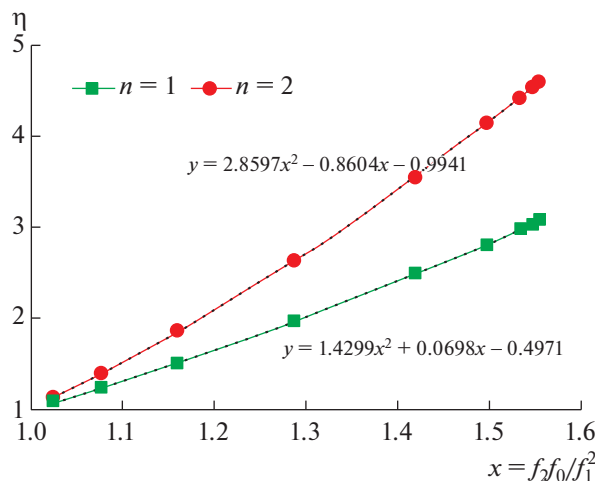
$$\alpha_n(s, p) = \int_0^\infty \xi^n F(\xi; s, p) d\xi = \left(\frac{s}{p}\right)^{n/s} \Gamma\left(\frac{n+p+1}{s}\right) / \Gamma\left(\frac{p+1}{s}\right),$$

и дробно-рациональные функционалы (12) легко вычисляются:

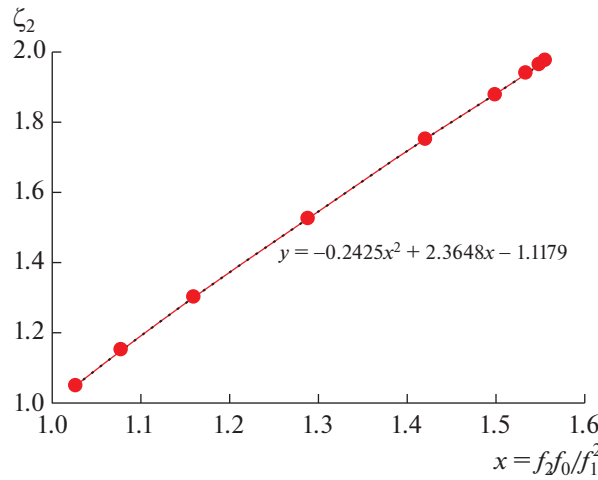
$$\eta_n(s, p) = \frac{\alpha_{n+2}(s, p)}{\alpha_n(s, p)\alpha_1^2(s, p)}, \quad \zeta_n(s, p) = \frac{\alpha_{n+1}(s, p)}{\alpha_1(s, p)\alpha_n(s, p)}. \quad (18)$$

### 3.1. Приближение двух моментов

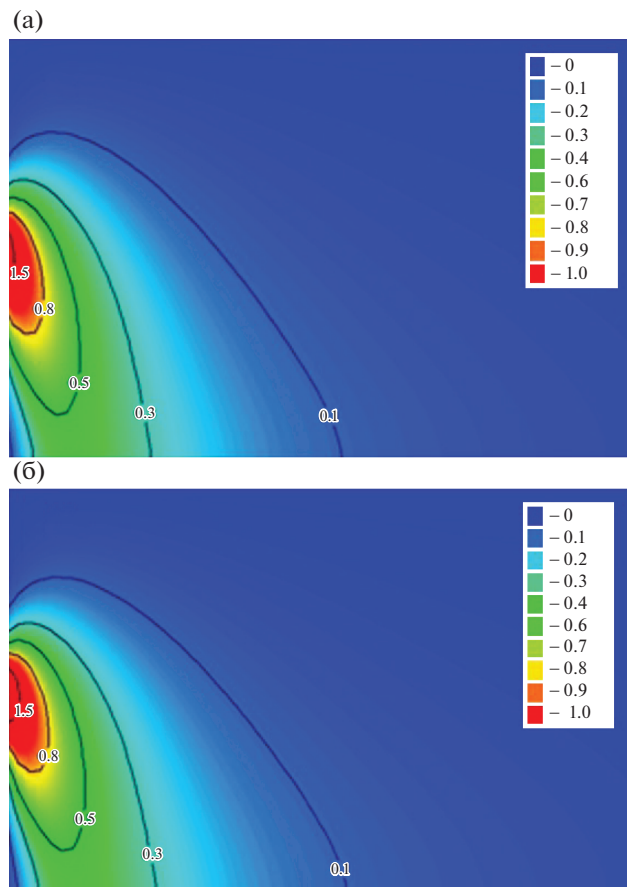
В двухмоментном приближении ( $N = 1$ ) пространственно-временные распределения водности среды  $q = f_0$  и среднего радиуса капель  $\bar{a} = f_1/f_0$  описываются двумя уравнениями (15). При этом параметры  $s$  и  $p$  в (17) должны быть фиксированными, а дробно-рациональные функционалы  $\eta_0 = \alpha_2/\alpha_1^2$  и  $\eta_1 = \alpha_3/\alpha_1^3$  – постоянными (табл. 1). Величины  $\eta_0$  и  $\eta_1$  имеют порядок единицы. Их зависимость от  $s$  и  $p$  достаточно слабая.



**Фиг. 3.** Зависимости  $\eta_1$  и  $\eta_2$  от первых трех моментов при  $s = 2$ . Штриховые кривые – квадратичные аппроксимации.



Фиг. 4. Зависимость  $\zeta_2$  от первых трех моментов при  $s = 2$ . Штриховая кривая – квадратичная аппроксимация.



Фиг. 5. Распределение влажности в стационарном шлейфе капельной влаги при  $\epsilon_d = 1$ : (а) – “точное” решение; (б) – двухмоментное приближение.

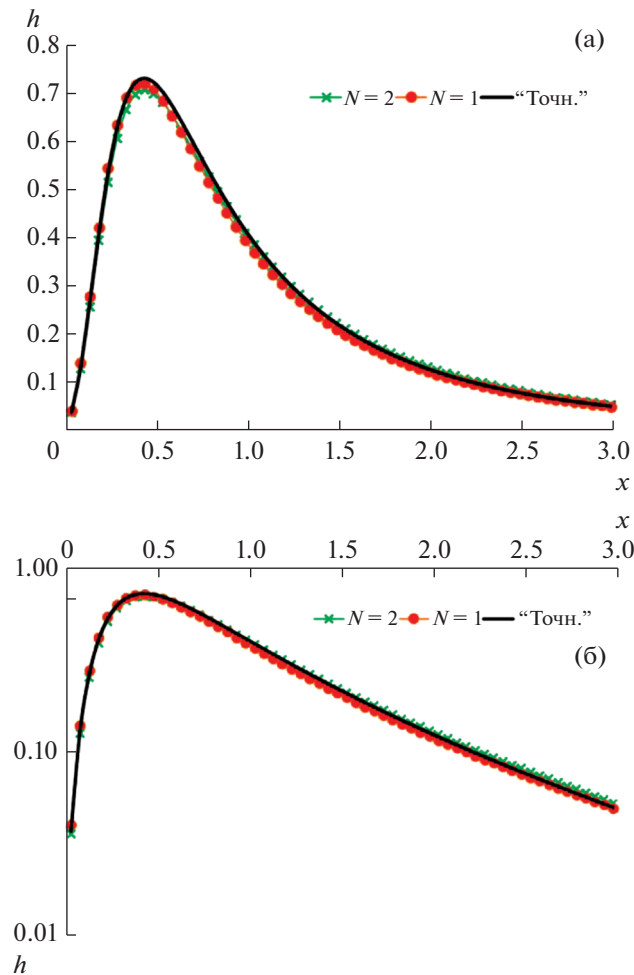
Скорость выпадения жидкости на подстилающую поверхность в приближении двух моментов вычисляется так:

$$h = \eta_0 \bar{a}^2 f_0(t, x, 0).$$

### 3.2. Приближение трех моментов

В приближении трех моментов ( $N = 2$ ) будем считать, что параметр  $s$  в (17) фиксирован, а параметр  $p$ , определяющий дисперсию функции распределения, может изменяться. Тогда, соглас-





**Фиг. 6.** Стационарные осадки на подстилающую поверхность в обычном (а) и логарифмическом (б) масштабе: “точное” решение (“Точн.”), двухмоментное приближение ( $N = 1$ ), трехмоментное приближение ( $N = 2$ ). Параметр  $\varepsilon_a = 0$ .

но (13), (14), входящие в (16) дробно-рациональные функционалы  $\eta_1$ ,  $\eta_2$  и  $\zeta_2$  будут зависеть только от следующей комбинации трех моментов:  $x = f_2 f_0 / f_1^2$ . При этом данная величина может быть связана с параметром  $p$  функции распределения (17) уравнением (см. (13))

$$\frac{f_2 f_0}{f_1^2} = \frac{\alpha_2(s, p)}{\alpha_1^2(s, p)}.$$

Обратив эту зависимость (напомним, что  $s$  – фиксировано) и используя результат в (18), получим искомые выражения дробно-рациональных функционалов от первых трех моментов функции распределения в виде

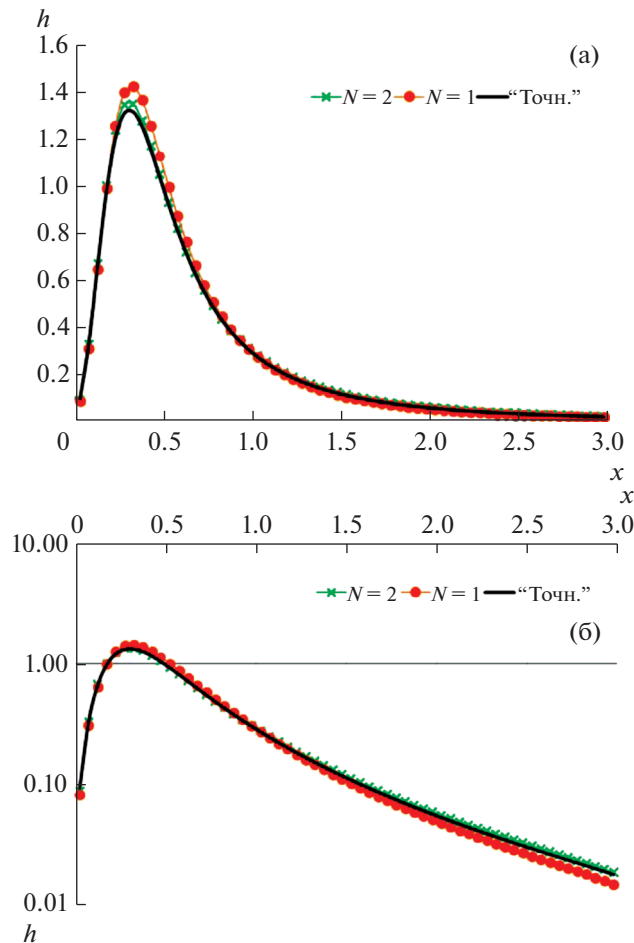
$$\eta_1 = \eta_1(s, f_2 f_0 / f_1^2), \quad \eta_2 = \eta_2(s, f_2 f_0 / f_1^2), \quad \zeta_2 = \zeta_2(s, f_2 f_0 / f_1^2). \quad (18)$$

На фиг. 3 и 4 приведены рассчитанные с помощью электронных таблиц Excel графики функций (18) для случая  $s = 2$ . Там же представлены квадратичные зависимости, хорошо аппроксимирующие данные кривые.

Скорость выпадения жидкости на подстилающую поверхность в приближении трех моментов определяется вторым моментом функции распределения:

$$h = f_2(t, x, 0).$$

При постановке краевой задачи для моментных уравнений в сечении  $x = 0$  должны быть заданы пространственные распределения всех моментов, входящих в рассматриваемое приближения моментного метода. Далее в конкретных расчетах примем, что в начальном сечении  $x = 0$



Фиг. 7. То же, что на фиг. 6, но при  $\epsilon_{\dot{a}} = 1$ .

функция распределения  $f$  каплей по размерам имеет вид (6), причем  $b(a) = F(a; s, p)$  (см. (17)). Тогда в сечении  $x = 0$

$$f_n(z) = \left( \int_0^{\infty} a^n b(a) da \right) \delta(z - 1) = \alpha_n(s, p) \delta(z - 1), \quad n = 0, 1, \dots, N.$$

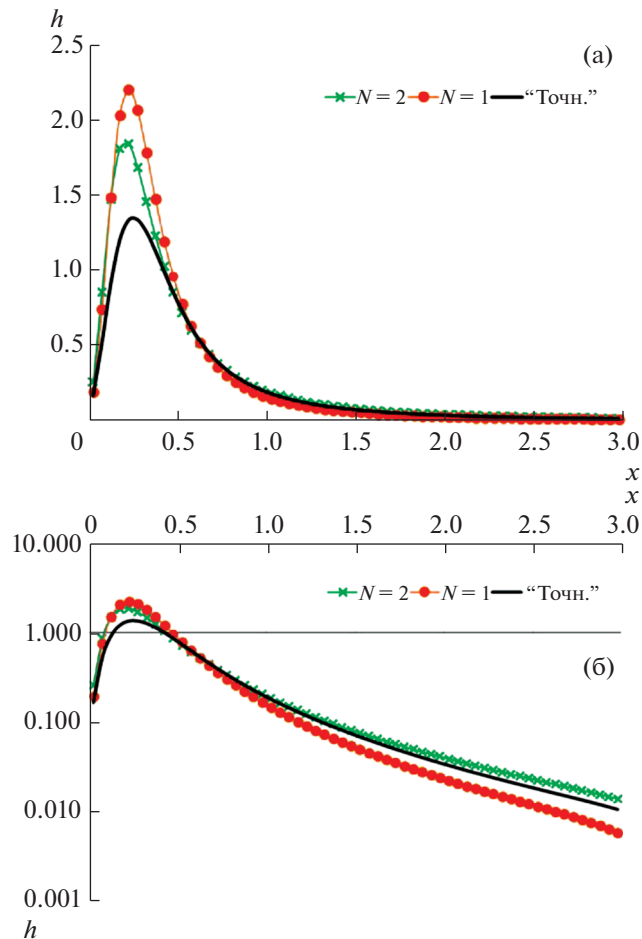
#### 4. РЕЗУЛЬТАТЫ РАСЧЕТОВ. ВЫВОДЫ

Для численного интегрирования уравнения переноса и диффузии в настоящей работе используется вычислительная методика, предложенная в [14] и применявшаяся, например, в работе [15]. Достоинства этой методики состоят не в экономичности и высокой скорости счета (что до некоторой степени компенсируется все возрастающей производительностью современных ЭВМ), а в простоте реализации и высокой универсальности.

На фиг. 5–7 приведены результаты расчетов описанной выше задачи как в “точной” постановке (1), так и с использованием двухмоментного приближения (15) и трехмоментного приближения (16). Расчеты проведены при разных значениях параметра гравитационной коагуляции  $\epsilon_{\dot{a}}$ . Во всех расчетах  $\epsilon_{Ax} = 0, \epsilon_{Az} = 0.3$ .

Расчетное распределение водности в стационарном шлейфе капельной влаги при  $\epsilon_{\dot{a}} = 1$  представлено на фиг. 5.

Сравнение “точного” решения с расчетами по двухмоментному и трехмоментному приближению для трех различных значений  $\epsilon_{\dot{a}}$  приведено на фиг. 6–8.



Фиг. 8. То же, что на фиг. 6, но при  $\varepsilon_{\dot{a}} = 2$ .

Видно, что моментный метод в целом дает неплохие не только качественные, но и количественные результаты. Во всяком случае, при  $\varepsilon_{\dot{a}} \leq 1$  даже низшее, двухмоментное приближение вполне приемлемо. Видно также, что использование трехмоментного приближения заметно уменьшает разницу между точным и приближенным решением при  $\varepsilon_{\dot{a}} > 1$  (особенно вдали от источника капельной влаги).

В заключение отметим, что согласно данным, приведенным в пп. 2.1 и 2.2, параметр коагуляции  $\varepsilon_{\dot{a}} = 1$  при значениях  $a_m = 100$  мкм,  $Q_0 = 10$  кг/(м с), и  $U_0 = 10$  м/с.

#### СПИСОК ЛИТЕРАТУРЫ

1. Котеров В.Н., Архипов Б.В., Беликов В.В., Солбаков В.В., Федосов В.Е. Численное моделирование образования и переноса капельной влаги в нижнем бьефе гидроузла при работе водосборов трамплинного типа // Гидротехническое строительство. 2007. Вып. 7. С. 17–27.
2. Котеров В.Н., Архипов Б.В., Беликов В.В., Солбаков В.В. Образование и перенос капельной влаги в нижнем бьефе гидроузла // Матем. моделирование. 2008. Т. 20. № 5. С. 78–92.
3. Котеров В.Н., Беликов В.В. Исследование и моделирование тепловой конвекции воздуха и переноса локальных осадков при работе эксплуатационного водосброса Саяно-Шушенской ГЭС в зимний период // Гидротехническое строительство. 2012. № 3. С. 62–70.
4. Беликов В.В., Котеров В.Н. Численное моделирование переноса капельной влаги, генерируемой работой водосброса № 1 Богучанской ГЭС в период наполнения водохранилища зимой 2012 г. // Гидротехническое строительство. 2014. № 5. С. 16–26.

5. *Беликов В.В., Котеров В.Н.* Прогноз влияния водно-ледяного облака за водосбросами № 1 и № 2 Богучанской ГЭС на сооружения гидроузла в условиях аварийной эксплуатации в зимний период // Гидротехническое строительство. 2015. № 6. С. 40–51.
6. *Беликов В.В., Котеров В.Н.* Проблемы брызгового обледенения и образования техногенных осадков в нижних бьефах высоконапорных гидроузлов. Теория и практика математического моделирования природных и техногенных процессов. М.: Янус-К, 2016. 152 с.
7. *Дж. Бэтчелор.* Введение в динамику жидкости. М.: Мир, 1973. 758 с.
8. *Winterwerp J.C.* A simple model for turbulence induced flocculation of cohesive sediment // J. Hydraulic Res. 1997. V. 36. № 3. P. 309–326.
9. ГОСТ Р 53613-2009 (МЭК 60721-2-2:1988) Воздействие природных внешних условий на технические изделия. Общая характеристика. Осадки и ветер.
10. *Качурин Л.Г.* Физические основы воздействия на атмосферные процессы. Л.: Гидрометеиздат, 1973. 366 с.
11. *Колдоба А.В., Повещенко Ю.А., Самарская Е.А., Тишкин В.Ф.* Методы математического моделирования окружающей среды. М.: Наука, 2000. 254 с.
12. *Халтинер Дж., Мартин Ф.* Динамическая и физическая метеорология. М.: Изд-во Иностран. лит., 1960. 435 с.
13. *Качурин Л.Г.* Физические основы воздействия на атмосферные процессы. Л.: Гидрометеиздат, 1973. 366 с.
14. *Котеров В.Н., Кочерова А.С., Кривцов В.М.* Об одной методике расчета течений несжимаемой жидкости // Ж. вычисл. матем. и матем. физ. 2002. Т. 42. № 4. С. 550–558.
15. *Зубов В.И., Инякин В.А., Котеров В.Н., Кривцов В.М.* Численное моделирование пространственных турбулентных течений газа в сложных сопловых устройствах // Ж. вычисл. матем. и матем. физ. 2005. Т. 45. № 10. С. 1871–1886.